

专用指令集安全处理器设计与 VLSI 实现

陆荣华, 曾晓洋, 韩 军, 顾叶华, 麦 浪

(复旦大学 专用集成电路与系统国家重点实验室, 上海 201203)

E-mail: xyzen@fudan.edu.cn

摘 要: 专用指令集处理器(ASIP)结合了 ASIC 协处理器的高效性与通用处理器的灵活性, 在信息安全领域具有广泛的应用前景。本文针对 RSA/ECC 密码算法, 提出了一种专用指令集安全处理器的设计与 VLSI 实现方案。本文的 ASIP 基于 32 位 RISC 架构, 通过采用专用的指令集和特殊的运算单元, 以较小的软硬件代价实现了密码算法的高效运算。本设计采用 TSMC 0.25 μ m 标准 CMOS 工艺综合, 核心电路等效门为 28K, 最高时钟频率可达到 150MHz, 完成一次 1024 位 RSA 算法仅需 200 毫秒。

关键词: 专用指令集处理器; RISC; RSA; ECC; 安全

中图分类号: TP309; TN918

文献标识码: A

文章编号: 1000-1220(2007)09-1724-05

Design and VLSI Implementation of an Application Specific Instruction Set Security Processor

LU Rong-hua, ZENG Xiao-yang, HAN Jun, GU Ye-hua, MAI Lang

(State-Key Lab of ASIC and System, Fudan University, Shanghai 201203, China)

Abstract: The ASIP, which features the high efficiency of ASIC co-processor and the flexibility of General Purpose Processor, has and will have popular application in information security domain. This paper presents a new design and VLSI architecture of Security ASIP for RSA/ECC of cryptographic algorithms. By adopting the special instruction set and computing unit, the proposed 32-bit RISC processor achieves the goal of high-speed and low-cost. Based on TSMC 0.25 μ m standard CMOS technology, the core circuit of this Security ASIP has about 28k gates, and a max frequency of 150MHz, under which only 200 ms is required when the Security ASIP executes a 1024-bit RSA algorithm.

Key words: ASIP; RISC; RSA; ECC; security

1 引言

信息安全领域需要进行高强度的密码学运算, 而通用嵌入式处理器在运算性能上有明显的局限性, 因此硬件加速方法在信息安全系统中得到了广泛应用。

目前比较普遍的硬件加速方法是针对特定的密码算法设计硬件加速器(ASIC), 并与作为主控制器的通用处理器(GPP)组成 SoC 系统。这种方法成本高, 系统复杂, 而且系统运行效率受片上总线传输能力的限制。另外这类 ASIC 硬件加速器只能实现单一、固定的功能, 可配置性和可扩展性十分欠缺。为了克服传统方案的缺陷, 目前专用指令集处理器(ASIP; Application Specific Instruction Set Processor)作为一种新的设计方案得到了重视和发展^[1,2]。ASIP 具有与 GPP 类似的架构, 软件可配置性强; ASIP 能够针对特殊应用优化指令集和数据通路, 对算法的关键运算步骤进行硬件加速, 因此还具有硬件执行速度快的特点; ASIP 还可以灵活地扩展其指令集和相应的硬件单元, 在不同的应用条件下具有良好的适应性, 从而有效地降低设计成本。

本文采用 ASIP 的设计方案, 在通用 32 位 RISC 结构处理器的基础上, 设计专用指令集的安全处理器。该处理器用较小的软硬件代价实现高速的模乘和模逆运算, 并在此基础上完成完整的 RSA、ECC(GF(P))算法。另外本文也提出了 ASIP 运算单元和指令集扩展的具体方法。为了实现与外部设备的通信, 本文的 ASIP 设计能够支持一个中断。

2 可伸缩的蒙哥马利模乘算法

模乘运算是 RSA 和 ECC 算法的核心步骤。目前应用的 RSA 算法数据位宽已经达到 512~4096 位, 用硬件直接实现如此超长位宽的运算, 硬件成本和关键路径延迟都会很大, 而字串行架构(digit-serial)可以将位宽为 n 的模乘运算分解为字为 $w(w=n/m)$ 的运算, 易于将模乘运算集成到位宽较短的处理器结构中。另外, 字串行的模乘运算可以实现数据宽度的可伸缩性, 无需改变硬件就可以实现算法在不同条件下的应用。模乘运算一般采用蒙哥马利模乘实现^[1], [5]提出了一种适用于硬件实现的可伸缩蒙哥马利模乘算法 Scalable-Monpro。下面是对该算法的分析。

收稿日期: 2006-06-13 基金项目: 国家“八六三”高技术项目(2003AA1Z1270)资助; 上海市科委重大攻关项目(03dz15001)资助。作者简介: 陆荣华, 男, 1982 年生, 硕士研究生, 研究方向为集成电路设计; 曾晓洋, 男, 1972 年生, 博士, 副教授, 研究方向为集成电路设计; 韩 军, 男, 1977 年生, 博士研究生, 研究方向为集成电路设计; 顾叶华, 男, 1981 年, 硕士研究生, 研究方向为集成电路设计; 麦 浪, 男, 1983 年, 硕士研究生, 研究方向为集成电路设计。

Scalable-Monpro(可伸缩蒙哥马利模乘算法)

```

Input:  $A \in [1, N-1], B \in [1, N-1], N = \text{modulus};$ 
Output:  $((A \times B) \times (2^n)) \bmod N, n = \text{number of bits of } N.$ 
reg_S[n+1;0] ← 0; Qs ← 0;
for(i=0; i ≤ n/w-1; i=i+1)
  {op1 ← A[i×w+w-1; i×w];
  S[2w+1;0] ← 0;
  for(j=0; j ≤ n/w-1; j=j+1)
    {op2 ← B[j×w+w-1; j×w];
    S[2w+1;w] ← (S[2w+1;w] + reg_S[j×w+w-1; j×w]);
    S ← W_Monpro(op1, op2, S[2w+1;0], N[j×w+w-1; j×w], Qs, j);
    /* W_Monpro 是字级蒙哥马利模乘算法 */
  }
  if(j>0) then {reg_S[j×w-1; j×w-w] ← S[w-1;0];}
  if(j=n/w-1) then {reg_S[n+1; n-w] ← S[2w+1;w] + reg_S[n+1; n];}
}
if(reg_S > N) then {reg_S ← reg_S - N;}
return reg_S;

```

Scalable-Monpro 将蒙哥马利模乘拆分成字级模乘。

W_Monpro(字级蒙哥马利模乘算法)

```

BN = B + N; /* 预处理 */
Input: op1 = any w bits of A, op2 = any w bits of B, 2w+2 bits
      S-1, BN[w-1;0], N[w-1;0], Qs[w-1;0], flag;
Output: Sw-1 = 2w+2 bits product
for(i=0; i ≤ w-1; i=i+1)
  {if(flag=0) then Q[i] ← (S-1[w] + op1[i] × op2[0]) mod 2;
  else {Q[i] ← Qs[i];}
  case(op1[i], Q[i]):
    "00": temp ← S-1[2w+1;w];
    "01": temp ← S-1[2w+1;w] + N;
    "10": temp ← S-1[2w+1;w] + B;
    "11": temp ← S-1[2w+1;w] + BN;
  Si[2w+1;w] ← temp[w+2;1];
  Si[w-1] ← temp[0]; Si[w-2;0] ← Si-1[w-1;1];
}
Qs ← Q;
Return Sw-1;

```

W_Monpro 实现位宽为 w 的字级蒙哥马利模乘。算法包含了重复的加法和右移操作,其中加法运算的操作数必须由参数的值来决定,这在 GPP 实现中将需要大量的指令和运算时间,从而限制了模乘运算的效率。本文的解决方案是由硬件直接计算参数,避免两次加法之间由于软件计算参数而造成的大量延迟。

由于能够在当前加法运算的同时确定下一次加法运算所需的参数,本文设计了一条多周期指令 SCAL 完成 **W_Monpro** 算法,在字长为 w 的情况下,SCAL 指令只需执行 w 个时钟周期,与 GPP 相比节省了大量的运算时间。

Scalable-Monpro 算法可以通过循环调用 **W_Monpro**

来实现,下面是其汇编程序的简单示意。

```

counter1 = m; /* 参数,运算位宽 = 64 × m */
LOOP:
  counter2 = m;
  SCALLOOP, ... /* 取第 i 次运算相关数据,如 Ai, Bi, Ni */
  SCAL
  ... /* 保存运算结果 */
  counter2 = counter2 - 1;
  if(counter2 = 0) Jump to SCALLOOP
  counter1 = counter1 - 1
  if(counter1 = 0) Jump to LOOP
  else Jump to OUT /* END */

```

本文设计的 ASIP 由硬件完成字级运算,而通过软件调度字级运算实现任意长度的蒙哥马利模乘,这样的软硬件划分使本文的 ASIP 同时具有 ASIC 的高效性和 GPP 的灵活性与可编程性。

3 处理器硬件设计

3.1 处理器总体结构

本文 ASIP 的硬件结构如图 1 所示,主要分为 7 个部分,寄存器堆(REGFILE),运算单元(ALU, FU),前推逻辑(FW),译码单元(DECODE),地址产生单元(AGU),存储器(指令存储器 ROM/RAM,数据存储器 RAM)和中断控制单元(INT)。

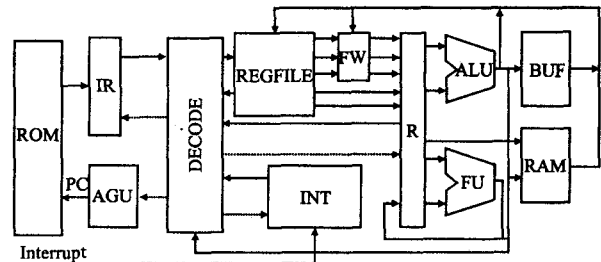


图 1 专用处理器总体结构

Fig. 1 Hardware architecture of security ASIP

与经典的五级流水线结构相似,AGU 生成指令地址 PC,并从 ROM 取出 32 位指令;指令寄存器 IR 对指令进行锁存;译码单元对锁存的指令译码,产生各个单元的控制信号,并从 REGFILE 读取数据;REGFILE 是一个 32×32 的寄存器堆,用于存放数据,其中寄存器 R0 在系统复位后恒为 0;FW 对来自 REGFILE 的数据进行校正;寄存器 R 锁存数据以及 ALU 控制信号;运算单元包括 ALU 和其它运算模块(FU),ALU 输出运算结果状态位至译码单元,FU 只在执行特殊算法时工作;ALU 产生的数据如果是地址,则访问数据 RAM,如果不是则经过 BUF 缓冲,以使各种指令经过相同级数的流水线;最后 REGFILE 根据 BUF, RAM 的输出结果更新寄存器的值。

目前大多数针对密码学算法的处理器都采用 MAC 单元完成一次字模乘^[3],本文不包含乘法器单元,并只对 ALU 的

结构和主要数据通路做优化,从而减小硬件开支,同时避免乘法器成为关键路径。

3.2 运算单元设计

[5]设计了两个加法器 MSB-CSA 串联的结构用于模乘运算,本文在这种结构的基础上对低位的 MSB-CSA 做了改进,使之能够作为处理器 ALU 的主要部件,并添加了逻辑运算单元执行逻辑操作指令。

运算单元执行蒙哥马利模乘运算时,功能如[5]所述;执行其它运算时,reg_carry 作为进位寄存器。加法运算时,reg_carry 保存 carry,减法时保存 ~carry;逻辑操作时,reg_carry 保存逻辑运算单元进位输出 shift_out;中断响应进入或退出时,reg_carry 保存 reg_carry_int。reg_carry_int 为中断响应状态下的进位寄存器。

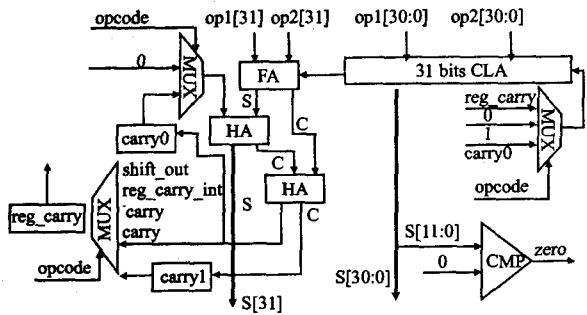


图2 运算单元主要结构
Fig. 2 Operation unit

GPP 通常对 ALU 的 32 位结果判断是否为 0,产生状态位并返回 DECODE 译码,这种设计主要为了方便编程时设置计数器,但也往往成为系统的关键路径。本文只对低 12 位结果判断是否为 0,这样做既能够满足软件编程时计数范围的要求 ($2^{12}=4096$),也能缩短关键路径 (12 位比较器取代了 32 位比较器)。

3.3 数据通路优化

图 3 是本文 ASIP 的主要数据通路。运算单元由一个 MSB-CSA 和一个以 MSB-CSA 为基础构造的 ALU 组成,ALU 的输出 carry1 与 MSB-CSA 的进位输入相连。保留进位缩短了关键路径,同时在模乘运算右移累加过程中,进位可以直接加入本位位做下一次运算。虽然字级模乘运算的位宽是 64,但是关键路径只与 32 位加法器有关。

与 GPP 的寄存器堆不同,本文的 ASIP 寄存器 R2-R15 既可以作为通用寄存器,又可以在模乘运算时作为特殊寄存器存放运算所需数据,如 R14,R15 分别保存 64 位 Q 值的低位和高位,R6,R7 保存 64 位的 A 值,并能够实现循环右移,从而在 R6 的最低位输出每个运算周期所需的算法参数 A[i] (a_lsb)。

本文 ASIP 在执行普通指令时,译码单元与 ALU 的操作过程和 GPP 一致;而在执行模乘指令时,当前运算的结果 stmp[64:0]直接返回作为下个周期运算单元的一部分操作数,同时译码单元根据 a_lsb, b_lsb (B 的最低位), q_lsb (如

果 flag=0 则选择 stmp[1:0]) 的值对特殊寄存器寻址,产生其余的操作数,从而实现高效的模乘运算。本文的 ASIP 在规

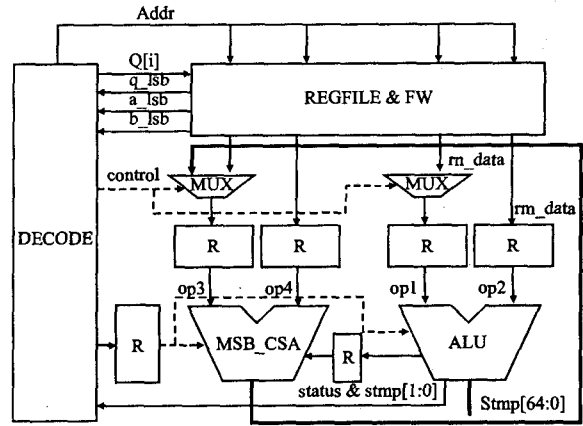


图3 主要数据通路
Fig. 3 Main data path

范的 GPP 架构上,结合特殊的应用合理地优化了数据通路,大幅度地提高了运算效率。

3.4 中断控制设计

中断控制电路如图 4 所示。译码模块输出 int_cs 和 int_over,当系统能够响应中断时 int_cs 有效;当中断响应结束时 int_over 有效;有限状态机输出 int_out,当系统不处于中断响应状态时有效。当 int_cs 和 int_out 均有效,且收到中断请求 (int_en 有效),则 respond 有效,系统响应中断。

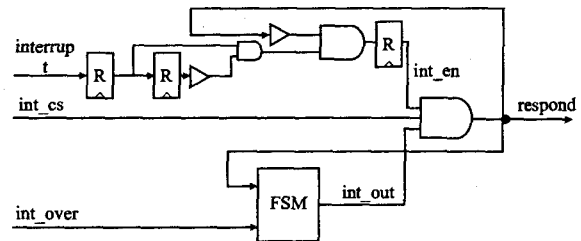


图4 中断控制电路
Fig. 4 Interruption control block

ALU 内部设置了两组状态寄存器,系统响应中断或从中断响应退出时,两组状态寄存器的值完成一次互换。为了减小中断现场保护与恢复的硬件代价,寄存器数据的保存通过软件调度完成。

4 专用指令集

本文 ASIP 专用指令集共有二十一条指令,为了提高代码密度,所有指令均为条件执行。指令集包括数据处理指令 ADD(C), SUB(C), MOV, LS(C), RS(C), CMP, TST; 控制流指令 (A)JMP, (A)CALL, RET(I); 存取指令 LOAD, STR; 多周期模乘指令 SCAL, 模乘调整指令 AMD。

基于该指令集,可以通过编程实现模乘和模逆运算。RSA 算法的模幂以及 ECC(GF(P))算法的点乘因此都可以通过

重复调用模乘与模逆运算实现。

表 1 专用指令集

Table 1 Application specific instruction set

| 指令 | 说明 | 指令 | 说明 |
|------|---------|-------|--------|
| ADD | 加法 | JMP | 相对地址跳转 |
| ADDC | 带进位加法 | AJMP | 绝对地址跳转 |
| SUB | 减法 | CALL | 相对地址调用 |
| SUBC | 带借位减法 | ACALL | 绝对地址调用 |
| MOV | 寄存器数据传送 | LOAD | 存储器取数据 |
| LS | 逻辑左移 | STR | 存储器存数据 |
| LSC | 带进位逻辑左移 | RET | 子程序返回 |
| RS | 逻辑右移 | RETI | 中断返回 |
| RSC | 带进位逻辑右移 | SCAL | 模乘指令 |
| CMP | 数值比较 | AMD | 模乘调整指令 |
| TST | 最高比特位检测 | / | / |

4.1 特殊指令

本文的专用指令集包含了若干特殊指令,其中多周期模乘指令 SCAL 完成 W-Monpro 算法,它保证了模乘运算的高效性。另外在模乘时,运算单元执行了最高位保留进位加法,因此本文设计了一条 AMD 指令对运算结果进行调整。AMD 指令在整个模乘运算中所占用的执行时间不到 0.1%(以 1024 位为例),但它可以保证运算结果的正确性。

鉴于模逆运算^[13]在密码学领域的重要作用,本文 ASIP 的 LS(C),RS(C)指令支持模逆中频繁的移位操作,从而提高了运算效率。

在模幂运算需要对指数的每一比特位进行扫描,本文 ASIP 的 TST 指令与移位指令配合后就可以实现这一功能。TST 指令避免了将 ALU 运算结果的最高位作为状态位,虽然需要额外增加一条指令判断数据最高比特位的值,但是缩短了关键路径。

4.2 性能分析与扩展方法

下面分别用本文 ASIP 专用指令集和 ARM7TDMI 指令集完成 W-Monpro 算法,见表 2。

表 2 两种指令集完成 W-Monpro 的比较

Table 2 Comparison of two instruction sets

| 专用指令集 | ARM7TDMI |
|-----------------|----------------------------|
| | add r0,r0,#1 |
| /* 数据载入特殊寄存器 */ | cmp r0,#0x20 |
| SCAL | ble loophead |
| /* 数据存储 */ | //以上完成 for(i=0;i<31;i++)语句 |
| |省略其它指令 |
| 完成一次 64 位字模乘运算 | 完成一次 32 位字模乘算法需 36 条 |
| 法需 14 条指令,共执行 | 指令,共执行约 1059 个时钟周期 |
| 78 个时钟周期 | |

表 2 的 ARM7 汇编程序用 ARM 编译器编译 c 语言程序得出。设 ET 为模乘执行时间,m 为模乘调用的字模乘次数,n 为一次字模乘所需时钟周期数,T 为时钟周期,则模乘执行时间的计算方法如式(1)所示。

$$ET = m \times n \times T \quad (1)$$

基于式(1),可以根据表 2 所列参数对两种处理器进行性能比较(假设 ARM7 的时钟周期为 t(100MHz),本文 ASIP 的时钟周期为 2/3t(150MHz))。由式(2)可见,本文 ASIP 处理模乘算法的性能明显高于 ARM7TDMI。

$$\frac{ASIP}{GPP} \geq \frac{32 \times 32 \times 1059 \times t}{16 \times 16 \times 78 \times 2/3 \times t} \approx 81 \quad (2)$$

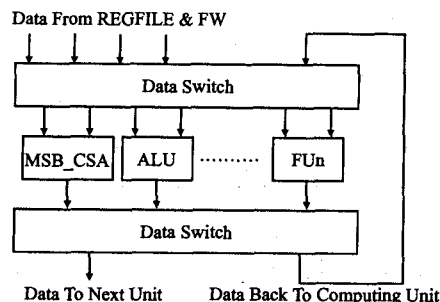


图 5 指令集扩展方法

Fig. 5 Method for instruction set extension

本文预留了充裕的编码空间用于扩展指令集,通过扩展指令集可以使本文的 ASIP 支持更多的密码学算法。扩展方法如下,首先通过抽取新算法的核心运算步骤,将其映射为特殊运算单元 FU,并与 ALU 共享输入数据与输出通路;然后在指令集中扩展出能够调用 FU 的新指令。基于扩展后的指令集,通过软件编程就可以高效实现新的算法。这种软硬件协同的扩展方式充分发挥了硬件速度快和软件可配置性强的优点,同时对处理器的结构改动很少,能够有效地降低设计成本。

5 ASIP 的 FPGA 验证与 VLSI 实现

本文的专用指令集安全处理器(以下简称 Security ASIP)采用 Altera 中 stratixII 系列的 EP2S60F1020C3ES 开发板进行 FPGA 硬件验证,并采用如图 6 所示的测试方案。

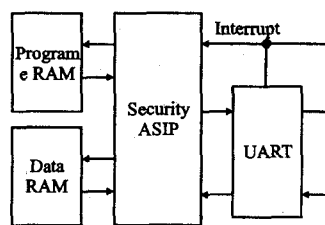


图 6 Security ASIP 的 FPGA 验证方案

Fig. 6 Verification by FPGA

Program RAM 和 Data RAM 分别作为 Security ASIP 的指令存储器和数据存储,UART(通用异步串行接口)作为 PC 和 Security ASIP 通信的接口。将 Security ASIP、Program RAM、Data RAM 和 UART 的 RTL 软核用 QuartusII 软件综合,生成的网表下载到 FGPA 开发板上。验证结果表明,Security ASIP 能够准确完成模乘、模逆、RSA 以及 ECC 算法等

功能。

表3 Security ASIP 与 RSA 协处理器的性能比较

Table 3 Comparison with RSA coprocessors

| 作者 | Liu[6] | Sun[7] | Ours |
|---------------------|--------|--------|------|
| 密钥长度(bits) | 1024 | 2048 | 不限 |
| 工艺(μm) | 0.18 | 0.35 | 0.25 |
| 频率(MHZ) | 450 | 60 | 150 |
| 规模(gates) | 148K | 23K | 28K |
| 吞吐率(kbps) | 214 | 18 | 5 |
| 可伸缩性 | 否 | 是 | 是 |
| 可编程性 | 否 | 否 | 是 |
| 可扩展性 | 难 | 难 | 易 |

Security ASIP 基于 TSMC 0.25 μm 标准 CMOS 工艺进行了逻辑综合,下面是一些主要的性能参数。Security ASIP 核心电路的规模为 28K gates,最高时钟频率 150MHz,数据

表4 Security ASIP 与其它安全处理器的性能比较

Table 4 Comparison with security processors

| Company | Product | 1024-bit RSA |
|------------------------|-------------------------|-----------------|
| ARM Limited | Secure Core SC200[4] | 594ms |
| MIPS Technologies, Inc | SmartMIPS 4KSc[8][9] | 320ms |
| NEC Electronics, INC | V-WAY32 uPD79215000[10] | 436ms |
| STMicroelectronics | SmartJ ST22XJ64[11] | 380ms |
| Ours | Security ASIP | 200ms |

吞吐率为 5Kbps。表 3,4 分别为 Security ASIP 与近年来的一些 RSA 协处理器^[6,7]和其它安全处理器^[3]的性能比较。与协处理器相比,Security ASIP 具有更强的灵活性和更低的成本,与其他安全处理相比,Security ASIP 具有更快的速度和更高的时钟频率。

6 结论

本文基于 RISC 架构处理器,提出了一种高性能的专用指令集安全处理器设计与实现方案。为了高效地实现密码算法,本文设计了专用的指令集和特殊的运算单元。与通用处理器相比,本文的设计具有更高的运算性能和更低的软硬件成本;与 ASIC 协处理器相比,则具有可配置和可编程的优点,灵活性和使用效率更高。基于 ASIP 的软硬件协同设计是目前嵌入式系统设计的一个重要发展方向,其设计方法学也是一项重要的研究内容。本文提出的软硬件协同扩展方法对于完善 ASIP 的设计流程具有一定的借鉴意义。

References:

[1] Rivest R L, Shamir A, Adleman L A. Method for obtaining

digital signatures and public-key cryptosystems[J]. Communications of the ACM, 1978, 21(2): 120-126.

[2] Montgomery P L. Modular multiplication without trial division [J]. Mathematics of Computation, 1985, 44(170): 519-521.

[3] Johann G, Guy-Armand K. Architectural enhancement for montgomery multiplication on embedded risc processors[J]. ACNS 2003, LCNS 2846, 2003, 418-434.

[4] ARM Limited. ARM SecurCore solutions[EB/OL]. Product brief, available for download at [http://www.arm.com/aboutarm/4XAFLB/\\$File/SecurCores.pdf](http://www.arm.com/aboutarm/4XAFLB/$File/SecurCores.pdf), 2002.

[5] Han Jun, Zeng Xiao-yang, Lu Rong-hua, et al. Attack-resisted coprocessor intergrating multiplication and inverse[J]. Journal of Chinese Computer Systems, 2007, 28(4): 753-758.

[6] Liu Qiang, Ma Fang-zhen, Tong Dong-tong, et al. A regular parallel RSA processor[C]. In: Proceeding of the 2004 47th Midwest Symposium on Circuits and Systems (MWSCAS'04), Hiroshima, Japan, 2004, 467-470.

[7] Sun Yi-le, Wu Xing-jun. An area efficient modular arithmetic processor[C]. In: Proceeding of the 5th International Conference on ASIC, Beijing China, 2003, 1273-1276.

[8] MIPS Technologies, Inc. SmartMIPS architecture smart card extensions[EB/OL]. Product brief, available for download at http://www.mips.com/ProductCatalog/P_SmartMIPSASE/SmartMIPS.pdf, 2001.

[9] MIPS Technologies, Inc. Making smart cards secure[EB/OL]. The Pipeline (Technology Newsletter), Fall 2001, p. 4, Available for download at <http://www.mips.com/content/Press-Room/Newsletter>, 2001.

[10] NEC Electronics, Inc. V-WAY32 32-bit security cryptocontroller[EB/OL]. Product letter, available for download at <http://www.nec.com.sg/es/Smartcard.htm>, 2000.

[11] STMicroelectronics. ST22 smartJ platform smartcard ICs[EB/OL]. Product brief, available for download at <http://www.st.com/stonline/prodres/smarcard/insc9901.htm>, 2002.

[12] Bajot Y, Mehrez H. A macro-block based methodology for ASIP core design[C]. In: Proceedings of the ICSPAT, Orlando, 1999.

[13] Gutub A A A, Tenca A F. Efficient scalable hardware architecture for montgomery inverse computation in GF(P)[C]. In: Proceeding of IEEE Workshop on Signal Processing Systems (SIPS), Seoul, Korea, 2003, 93-98.

附中文参考文献:

[5] 韩 军, 曾晓洋, 陆荣华, 等. 集成模乘求逆双重运算的抗攻击 RSA 协处理器[J]. 小型微型计算机系统, 2007, 28(4): 753-758.